

III-25 不飽和粘土に発生する間けき圧について

長野高専 正員 峰村信雄

1. まえがき

不飽和土の変形、強度特性を支配する有効応力を求めるのが目的であるがこのためにはたとえば、

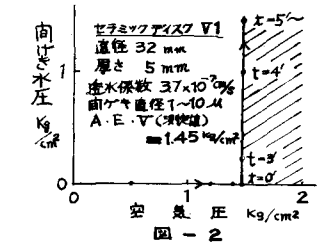
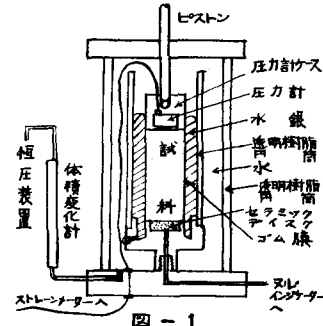
$$\sigma' = \sigma - u_a + \chi(u_a - u_w)$$

なる式がある。この種の式についてはいろいろ妥当性が論じられてきたが、 u_a と u_w の分離測定と、 χ が一義的に決まらないことに問題があるようである。

本研究も飽和土と下飽和土の強度定数が等しいものとして χ を求める方法を行ない、その正当性を考察することにした。今回はその始めの段階として、不飽和土の非排水三軸試験における間けき水圧、間けき空気圧の測定を行なつたので、この結果について述べたい。

2. 装置

間けき水圧 u_a と間けき空気圧 u_w を同一試料の両端面からそれぞれ測定できるようにした。その装置の概略を図-1に示す。測定が長時間にわたるため間けき空気の拡散防止のためゴム膜を水銀で覆った。

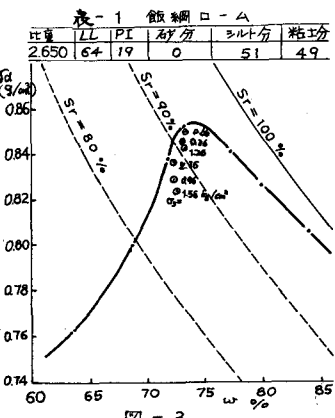


間けき空気圧の測定には周辺固定受圧板型ストレーンゲージ変換式の圧力計（直径 30 mm, 厚 25 mm）を用いた。測定範囲は -0.8 ~ +2.0 kg/cm^2 である。間けき圧を試料より小穴を通じて圧力計受感部へ伝えることにした。小穴と受感部との間の容積は 0.06 cc であり、試料内の空気体積 ($S_r = 90\%$ で $V_a = 5.7 \text{ cc}$) に較べれば微小である。また圧力計のたわみによる容積の変化はさらに小さい値となつている。このため圧力測定の際の空気の移動はないものとみなした。

間けき水圧についてはセラミックディスクのエアー・エントリー・バリューを測定した結果、図-2のように $1.45 \text{ kg}/\text{cm}^2$ と求められた。このセラミックディスクを飽和させ、試料からこのディスクを通じて表われてくる水圧を、長さ 20 cm 内径 1 mm の銅管を通じてマル・インジケーターにより測定することにした。せん断の載荷速度は $0.0075\%/\text{min}$ とした。

3. 試料

飯綱ローム（表-1）を非乾燥のまま 2 mm でふるい分け通過分を用いた。ハーバード・タンパーで直径 3.5 cm 高さ 8.75 cm のモールドに一定のエネルギーにより締固めた。締固め曲線と使用試料の状態を 図-3 に示す。



4. 等方圧載荷試験結果

非排水で等方圧をかけてからの間けき水圧、間けき空気圧および体積の時間的変化の一例を図-4 に示す。体積が一様に減少して行くのに対し、間けき空気圧も若干減少する傾向にあるのは、間け

き空気が水中に溶解するのに時間要するためと解される。²⁾

間げき水圧は一度途中で上昇するが300分をすぎるとまた下降する。これは側圧をかけないときサクションが働いており、その量が間げき水圧として読み取れなかつたものが側圧をかけたことによつて発生した間げき圧からそのサクションが差引かれて読みとれたものと解される。また時間とともに間げき水圧が上昇するのは、体積の収縮にともない空気間げきが減少しサクション量が総量で減少するためと考えられる。³⁾ また最後にふたたび間げき水圧が下降するのは土の圧縮により土粒子骨格の強さがあらわれ、間げき水が外力を持たる必要がなくなつたため減少したものと考える。 U_a , U_{lw} のこれら2次的な変化を考えなければ、一応100分で落付くので120分後に軸圧載荷を行なうこととした。

5. セン断試験結果

セン断試験結果の一例を図-5に示す。 U_{lw} がひずみ8%ぐらいから減少する傾向(サクションの増加)はこれらの試験中多く見られ、ダイラタシナーの影響と考えられる。

飽和度89%の系列の60°平面上のベクトルカーブを図-6に示す。図中飽和土の破壊包絡線は同じ試料について他所で行なった排水試験の結果を引用した。⁴⁾ これによりXの値を求める表-2の通りとなり、過去における実験値⁵⁾の如く側圧が小さいほどXが大きいという結果となつた。この結果はBishopらの結果と較べてサクション($U_a - U_{lw}$)の出方が少ない

ということになるがデーターのはづつきも大きいのではつきりしたことはいえない。発表時までにはもっとまとめた結果を得たい。

6 結語

不飽和粘土について U_a , U_{lw} の分離測定を行なつたがまだ飽和に近い一系列いか試験を行なつてないので試験をつづけたい。本研究は文部省科研費の補助を受けたこと、信州大学川上教授の指導を受けたことを記し感謝の意を表す。

- 参考文献: 1) A.W. Bishop & G.E. Bright, "Some aspects of effective stress in saturated and partly saturated soils." Geotechnique Vol.13, 189~196, 1963.
 2) L.Barden & G.Sides, "Engineering behavior and structure of compacted clay." Proc. ASCE, Vol.96, SM4 1175~1178, 1969.
 3) 川上 浩, 峰村信雄 "不飽和粘土の強度について" 第4回土質工学研究発表会
 4) 川上 浩, 阿部広史 "不飽和粘土のせん断時の間げき圧の挙動について" 第6回土質工学研究発表会
 5) 川上 浩, 峰村信雄 "不飽和粘土の有効応力について" 第23回土木学会年次学術講演会

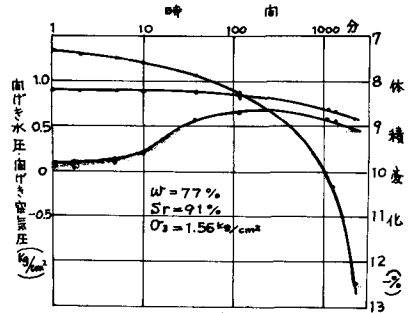


図-4

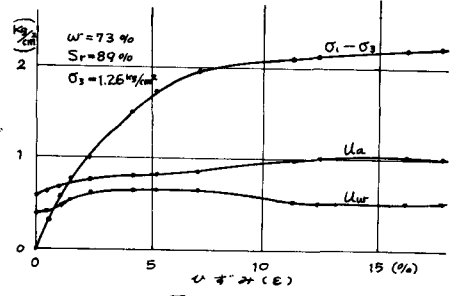


図-5

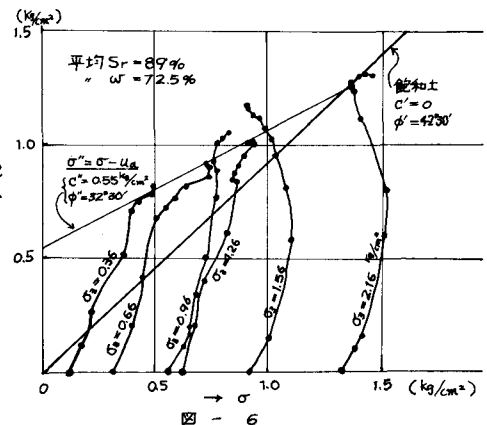


図-6

表-2 Xの計算値.

側圧 (kg/cm²)	0.36	0.66	0.96	1.26	2.16
X	2.44	1.07	1.20	0.67	1.00
($U_a - U_{lw}$) _f (破壊時)	0.18	0.28	0.25	0.45	0.08